

Z' e léptons neutros extras em alguns modelos BSM

Diego Cogollo
UFCG
PhenoBR 2021

Z' é naturalmente BSM

Modelos com extensões mínimas locais $U(1)$.

Modelos L-R $SU(2)_L SU(2)_R U(1)_{B-L}$

Modelos 331 $SU(3)_C SU(3)_L U(1)_N$

Modelos 341 $SU(3)_L SU(4)_L U(1)_N$

331_{RH} ν

$$f_L^a = \begin{pmatrix} \nu_L^a \\ \ell_L^a \\ (\nu_R^a)^c \end{pmatrix} \sim (1, 3, \frac{-1}{3}), \ell_R^a \sim (1, 1, -1),$$

$$a = 1, 2, 3.$$

$$331 \longrightarrow 321 \sim \text{TeV} \quad M_{Z'}^2 \sim g^2 v_{\chi'}^2, \quad \geq 5 \text{ TeV (LHC)}.$$

$$(\nu_R)^c$$



BSM Grau de liberdade

$$\bar{f}_L (f_L)^c = 3^* \otimes 3^* = 3 \oplus 6^*.$$



Acoplamento para gerar massa dos neutrinos no modelo

Primeiro tipo

$$G_{ab} \epsilon^{ijk} (\bar{f}_L^a)_i (f_L^b)_j^c (\rho^*)_k$$

quando $\langle \rho \rangle_0 \neq 0$, gera-se massa de Dirac para dois neutrinos (degenerado), enquanto o terceiro fica sem massa.

$$G_{ab}^s (\overline{f_L^a})(f_L^b)^c S$$

Segundo tipo

$$S = \frac{1}{\sqrt{2}} \begin{pmatrix} \Delta^0 & \Delta^- & \Phi^0 \\ \Delta^- & \Delta^{--} & \Phi^- \\ \Phi^0 & \Phi^- & \sigma^0 \end{pmatrix} \sim (1, 6, \frac{-2}{3}).$$

Quando a simetria 331 quebra para $SU(3)_c \times SU(2)_L \times U(1)_Y$

$$\bar{f}_L^C S f_L \rightarrow \bar{L}^C \Delta L + \bar{L} \Phi \nu_R + \bar{\nu}_R^C \sigma_0 \nu_R,$$

$$\Delta = \frac{1}{\sqrt{2}} \begin{pmatrix} \Delta^0 & \Delta^- \\ \Delta^- & \Delta^{--} \end{pmatrix}, \quad \Phi = \frac{1}{\sqrt{2}} \begin{pmatrix} \Phi^0 \\ \Phi^- \end{pmatrix}, \quad \frac{\sigma^0}{\sqrt{2}}.$$

$$L(\sigma^0) = -2,$$

$$L(\Delta^0, \Delta^-, \Delta^{--}) = 2.$$

Quando Φ_0 e σ_0 desenvolvem vev, são gerados os seguintes termos de massa na base

$$\frac{1}{2} \begin{pmatrix} \bar{\nu}_L^C, \bar{\nu}_R \end{pmatrix} \begin{pmatrix} 0 & M_D \\ M_D & M \end{pmatrix} \begin{pmatrix} \nu_L \\ \nu_R^C \end{pmatrix},$$

$$M_D = Gv_\Phi \quad \text{and} \quad M = Gv_\sigma,$$

o caso de $v_\sigma \gg v_\Phi$ leva a uma relação entre M_D e M conhecida como mecanismo See-Saw

$$m_{\nu L} \simeq -m_D M_R^{-1} m_D, m_{\nu R} \simeq M_R,$$

em termos dos Vev's

$$m_{\nu L} \sim \frac{v_{\Phi}^2}{v_{\sigma}} \quad m_{\nu R} \sim v_{\sigma}$$

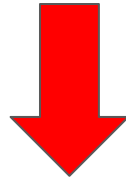
Quando σ_0 desenvolve vev, a simetria 331 e a simetria de número leptônico são quebradas

$$v_{\sigma} \sim \text{TeV}, \quad v_{\Phi} \sim \text{MeV}, \quad m_{\nu L} \sim \frac{v_{\Phi}^2}{v_{\sigma}} \sim \text{eVs}$$

<https://inspirehep.net/literature/788685>

Flavour Changed Neutral Interactions

Duas famílias de quarks transformam como anti-tripletos, e a restante como tripleto por $SU(3)_L \otimes U(1)_N$



Quebra da universalidade das interações do bóson Z' com os quarks!

Por exemplo, no $331_{RH\nu}$

$$L_{Z^2 u_3}^{331_{RH\nu}} = -\frac{g}{2C_\omega} \left\{ \bar{u}_{3L} \gamma^\mu \left[\frac{(3 - 2S_\omega^2)}{3\sqrt{3 - 4S_\omega^2}} \right] u_{3L} \right\} Z_\mu^2 \\ - \frac{g}{2C_\omega} \left\{ \bar{u}_{iR} \gamma^\mu \left[\frac{4S_\omega^2}{3\sqrt{3 - 4S_\omega^2}} \right] u_{iR} \right\} Z_\mu^2.$$

$$\mathcal{L}_u^{Z'} = \frac{g}{2C_W} \left(\frac{3 - 4S_W^2}{3\sqrt{3 - 4S_W^2}} \right) \bar{u}_{aL} \gamma_\mu u_{aL} Z'_\mu$$

$$- \frac{g}{2C_W} \left(\frac{6(1 - S_W^2)}{3\sqrt{3 - 4S_W^2}} \right) \bar{u}_{3L} \gamma_\mu u_{3L} Z'_\mu,$$

$$\mathcal{L}_d^{Z'} = \frac{g}{2C_W} \left(\frac{3 - 4S_W^2}{3\sqrt{3 - 4S_W^2}} \right) \bar{d}_{aL} \gamma_\mu d_{aL} Z'_\mu$$

$$- \frac{g}{2C_W} \left(\frac{6(1 - S_W^2)}{3\sqrt{3 - 4S_W^2}} \right) \bar{d}_{3L} \gamma_\mu d_{3L} Z'_\mu.$$

FCNI at tree Level!

Autoestados de massa são superposições dos autoestados de sabor:

$$\begin{pmatrix} u \\ c \\ t \end{pmatrix}_{L,R} = V_{L,R}^u \begin{pmatrix} u' \\ c' \\ t' \end{pmatrix}_{L,R}, \quad \begin{pmatrix} d \\ s \\ b \end{pmatrix}_{L,R} = V_{L,R}^d \begin{pmatrix} d' \\ s' \\ b' \end{pmatrix}_{L,R},$$

Os primeiros termos das lagrangianas de corrente neutra se transformam da forma:

$$\mathcal{L}_{u+d}^Z (\bar{u}' \quad \bar{c}' \quad \bar{t}')_L (V_L^u)^\dagger (V_L^u) \gamma^\mu Z'_\mu \begin{pmatrix} u' \\ c' \\ t' \end{pmatrix}_L +$$

$$(\bar{d}' \quad \bar{s}' \quad \bar{b}')_L (V_L^d)^\dagger (V_L^d) \gamma^\mu Z'_\mu \begin{pmatrix} d' \\ s' \\ b' \end{pmatrix}_L.$$

Dos segundos termos obtemos as seguintes interações de *FCNC*

$$\left. \begin{aligned} \mathcal{L}_{Z'}^{K^0-\bar{K}^0} &= \left(\frac{-g C_W}{\sqrt{3-4S_W^2}} \right) \{ (V_L^d)^*_{31} (V_L^d)_{32} \} [d'_{1L} \bar{\gamma}_\mu d'_{2L}] Z' \\ \mathcal{L}_{Z'}^{D^0-\bar{D}^0} &= \left(\frac{-g C_W}{\sqrt{3-4S_W^2}} \right) \{ (V_L^u)^*_{31} (V_L^u)_{32} \} [u'_{1L} \bar{\gamma}_\mu u'_{2L}] Z' \\ \mathcal{L}_{Z'}^{B_d^0-\bar{B}_d^0} &= \left(\frac{-g C_W}{\sqrt{3-4S_W^2}} \right) \{ (V_L^d)^*_{31} (V_L^d)_{33} \} [d'_{1L} \bar{\gamma}_\mu d'_{3L}] Z' \end{aligned} \right\} \sim \Delta M$$

[Novel sources of Flavor Changed Neutral
Currents in the 331RHN331_{RHN}331RHN
model](#)

FCNI mediada por escalares.

No modelo RM331 a Lagrangiana de interação entre os quarks de sabor e os escalares físicos é:

$$\mathcal{L} = \overline{U}'_L \Gamma_1^u U'_R h_1^0 + \overline{U}'_L \Gamma_2^u U'_R h_2^0 + \overline{D}'_L \Gamma_1^d D'_R h_1^0 + \overline{D}'_L \Gamma_2^d D'_R h_2^0 + h.c.,$$

$h_{1,2}^0$ autoestados físicos, $U'_{L,R}, D'_{L,R}$ base de sabor

$$h_1^0 = c_\beta R_\rho - s_\beta R_\chi, \quad h_2^0 = c_\beta R_\chi + s_\beta R_\rho,$$

$$\cos\beta \sim 1 \quad \longrightarrow \quad m_{h_1^0} \sim 125 \text{Gev}$$

$$\Gamma_1^u = \frac{m^u}{v_\rho} \cos\beta - \frac{\sin\beta}{v_\chi} \begin{pmatrix} 0 & 0 & 0 \\ 0 & 0 & 0 \\ m_{31}^u & m_{32}^u & m_{33}^u \end{pmatrix},$$

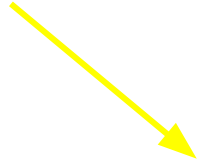
$$\Gamma_1^d = \frac{m^d}{v_\rho} \cos\beta - \frac{\sin\beta}{v_\chi} \begin{pmatrix} m_{11}^d & m_{12}^d & m_{13}^d \\ m_{21}^d & m_{22}^d & m_{23}^d \\ 0 & 0 & 0 \end{pmatrix},$$

$$\left. \begin{aligned} \Gamma_2^u &= \frac{m^u}{v_\rho} \sin \beta + \frac{\cos \beta}{v_\chi} \begin{pmatrix} 0 & 0 & 0 \\ 0 & 0 & 0 \\ m_{31}^u & m_{32}^u & m_{33}^u \end{pmatrix}, \\ \Gamma_2^d &= \frac{m^d}{v_\rho} \sin \beta + \frac{\cos \beta}{v_\chi} \begin{pmatrix} m_{11}^d & m_{12}^d & m_{13}^d \\ m_{21}^d & m_{22}^d & m_{23}^d \\ 0 & 0 & 0 \end{pmatrix} \end{aligned} \right\} \sim \Delta M$$

Flavor Changing Neutral Current Processes in a Reduced Minimal Scalar Sector

$$M_{Z'}^2 \sim g^2 v_{\chi'}^2$$

$$v_{\chi'} \sim \text{TeV}$$

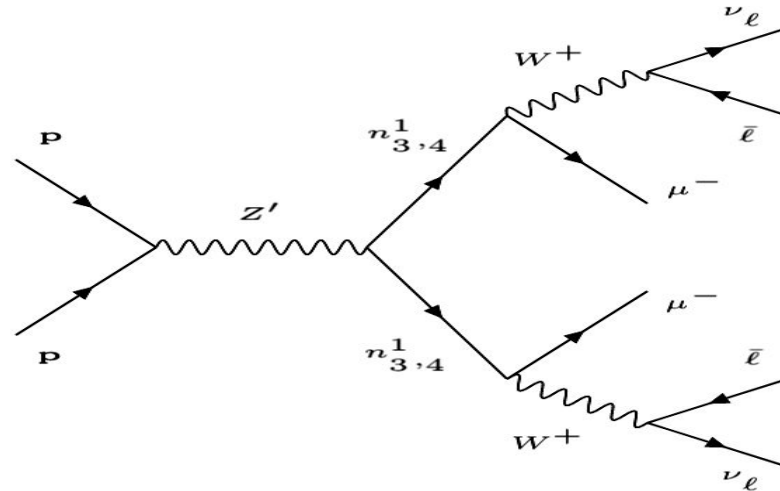


Naturalmente pesados

Recentemente no $331_{RH\nu}$ [Deep learning analysis of the inverse seesaw in a 3-3-1 model at the LHC](#) foi implementado o seesaw inverso (Yohan Maurício (UFPB) 16:40 - 17:00 Seesaw inverso, g-2 e violação da paridade em alguns modelos física além do modelo padrão)

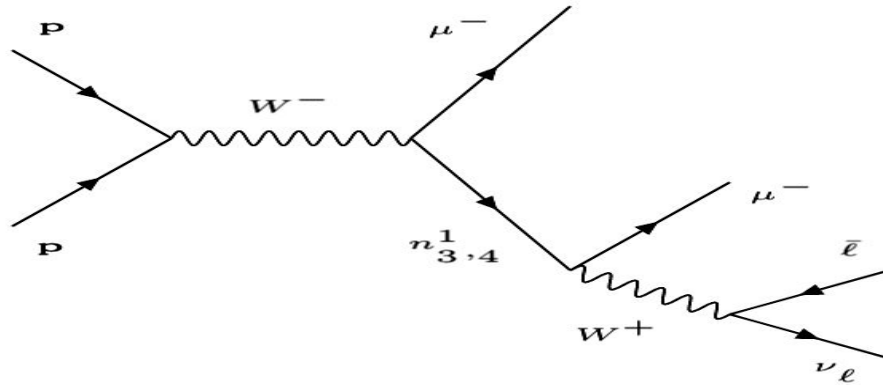
- O espectro de massa dos novos neutrinos varia de algumas centenas de Gevs até Tevs
- Usando deep learning analysis provamos que o processo

$$pp \rightarrow Z' \rightarrow n_{(3,4)_L}^1 n_{(3,4)_L}^1 \rightarrow \mu^+ \mu^- e^+ e^- \nu_e \bar{\nu}_e$$



É mais eficiente na procura de sinais do ISS, do que o processo

$$pp \rightarrow W^{\pm} \rightarrow \mu^{\pm} n_{(3,4)_L}^1 \rightarrow \mu^{\pm} \mu^{\mp} e^{\pm} \nu_e$$



- Se o Z' não é descoberto neste canal no LHC com a luminosidade atual, o $331_{RH\nu}$ pode ser descartado com 6σ no caso de um $M_{Z'} \leq 4\text{TeV}$

Modelos com Z' leve

- Modelos de dois dubletos com simetria extra $U(1)_X$
- ***Dark Photon*** e ***Dark Z***

 Implicações em experimentos de APV, PV, PVDIS, $g-2$

 Z' leve também é candidato para explicar anomalias

do tipo ${}^8\text{Be}^* \longrightarrow {}^8\text{Be}, e^- e^+$

2HDM

Característica principal, dois dubletos Φ_1, Φ_2 com $Y=1$

$$V = m_{11}^2 \Phi_1^\dagger \Phi_1 + m_{22}^2 \Phi_2^\dagger \Phi_2 - \left(m_{12}^2 \Phi_1^\dagger \Phi_2 + h.c. \right) + \frac{\lambda_1}{2} \left(\Phi_1^\dagger \Phi_1 \right)^2 + \frac{\lambda_2}{2} \left(\Phi_2^\dagger \Phi_2 \right)^2 + \lambda_3 \left(\Phi_1^\dagger \Phi_1 \right) \left(\Phi_2^\dagger \Phi_2 \right) + \lambda_4 \left(\Phi_1^\dagger \Phi_2 \right) \left(\Phi_2^\dagger \Phi_1 \right) + \left[\frac{\lambda_5}{2} \left(\Phi_1^\dagger \Phi_2 \right)^2 + \lambda_6 \left(\Phi_1^\dagger \Phi_1 \right) \left(\Phi_1^\dagger \Phi_2 \right) + \lambda_7 \left(\Phi_2^\dagger \Phi_2 \right) \left(\Phi_1^\dagger \Phi_2 \right) + h.c. \right].$$

A Lagrangiana de Yukawa mais geral é:

$$-\mathcal{L}_{Y_{2\text{HDM}}} = y^{1d} \bar{Q}_L \Phi_1 d_R + y^{1u} \bar{Q}_L \tilde{\Phi}_1 u_R + y^{1e} \bar{L}_L \Phi_1 e_R \\ + y^{2d} \bar{Q}_L \Phi_2 d_R + y^{2u} \bar{Q}_L \tilde{\Phi}_2 u_R + y^{2e} \bar{L}_L \Phi_2 e_R + h.c. ,$$



***FCNI* que podem comprometer o modelo**

NFC



$$\Phi_1 \rightarrow -\Phi_1, \quad \Phi_2 \rightarrow +\Phi_2,$$

$$\begin{aligned} V = & m_{11}^2 \Phi_1^\dagger \Phi_1 + m_{22}^2 \Phi_2^\dagger \Phi_2 - m_{12}^2 (\Phi_1^\dagger \Phi_2 + \Phi_2^\dagger \Phi_1) + \frac{\lambda_1}{2} (\Phi_1^\dagger \Phi_1)^2 \\ & + \frac{\lambda_2}{2} (\Phi_2^\dagger \Phi_2)^2 + \lambda_3 (\Phi_1^\dagger \Phi_1) (\Phi_2^\dagger \Phi_2) + \lambda_4 (\Phi_1^\dagger \Phi_2) (\Phi_2^\dagger \Phi_1) \\ & + \frac{\lambda_5}{2} \left[(\Phi_1^\dagger \Phi_2)^2 + (\Phi_2^\dagger \Phi_1)^2 \right]. \end{aligned} \longrightarrow \text{CP conservado}$$

Se ainda os campos fermiônicos transformam trivialmente

$$f \longrightarrow f$$

$$-\mathcal{L}_{Y_{2\text{HDM}}} = y_2^d \bar{Q}_L \Phi_2 d_R + y_2^u \bar{Q}_L \tilde{\Phi}_2 u_R + y_2^e \bar{L}_L \Phi_2 e_R + h.c. ,$$



TYPE I 2HDM

Estendendo o grupo de simetria por $U(1)_X$, o efeito da simetria Z2 é reproduzido se: $h_1 \neq h_2$

O potencial se reduz

$$V(\Phi_1, \Phi_2) = m_{11}^2 \Phi_1^\dagger \Phi_1 + m_{22}^2 \Phi_2^\dagger \Phi_2 + \frac{\lambda_1}{2} (\Phi_1^\dagger \Phi_1)^2 + \frac{\lambda_2}{2} (\Phi_2^\dagger \Phi_2)^2 \\ + \lambda_3 (\Phi_1^\dagger \Phi_1) (\Phi_2^\dagger \Phi_2) + \lambda_4 (\Phi_1^\dagger \Phi_2) (\Phi_2^\dagger \Phi_1).$$

A invariância da lagrangiana de Yukawa pelas transformações do grupo $U(1)_X$

$$-\mathcal{L}'_{Y_{2\text{HDM}}} = e^{(-q+h_2+d)i\alpha} y_2^d \bar{Q}_L \Phi_2 d_R + e^{(-q-h_2+u)i\alpha} y_2^u \bar{Q}_L \tilde{\Phi}_2 u_R + \\ + e^{(-l+h_2+e)i\alpha} y_2^e \bar{L}_L \Phi_2 e_R + h.c.$$

Exigem:

$$d - q + h_2 = 0$$

$$u - q - h_2 = 0$$

$$e - l + h_2 = 0.$$

A

Combinando este requerimento com o requerimento de um modelo livre de anomalias do tipo:

$$[SU(3)_c]^2 U(1)'; [SU(2)_L]^2 U(1)'; [U(1)_Y]^2 U(1)'; [U(1)']^3; U(1)_Y [U(1)']^2; [U(1)']^3$$

Combinando o conjunto de equações A com o vínculo vindo da anomalia

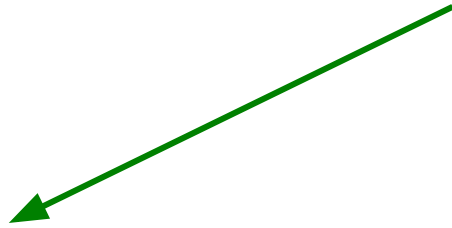
$[SU(2)_L]^2 U(1)'$, as cargas das partículas podem se escrever da forma:

$$q = \frac{(u + d)}{2},$$

$$l = \frac{-3(u + d)}{2},$$

$$e = -(2u + d),$$

$$h_2 = \frac{(u - d)}{2}.$$



Escritas desta forma as cargas, todas as anomalias se eliminam, menos a

anomalia $[U(1)']^3$, que implica um vínculo da forma: $(u + 2d)^3 = 0$



Logo temos duas opções

- $u = -2d$, ou
- Adicionamos RH_ν , um por geração,
com carga $n = -(u + 2d)$

Massa dos neutrinos

O seesaw se implementa neste modelo adicionando um singlete de escalares, tal que:

$$-\mathcal{L} \supset y_{ij}^D \bar{L}_{iL} \tilde{\Phi}_2 N_{jR} + Y_{ij}^M \overline{(N_{iR})^c} \Phi_s N_{Rj} ,$$

$$V_s = m_s^2 \Phi_s^\dagger \Phi_s + \frac{\lambda_s}{2} \left(\Phi_s^\dagger \Phi_s \right)^2 + \mu_1 \Phi_1^\dagger \Phi_1 \Phi_s^\dagger \Phi_s + \mu_2 \Phi_2^\dagger \Phi_2 \Phi_s^\dagger \Phi_s + \left(\mu \Phi_1^\dagger \Phi_2 \Phi_s + h.c. \right) ,$$

- A lagrangiana de Yukawa é invariante se $2n + h_s = 0$
- $n = -(u + 2d)$, implica que $h_s = 2u + 4d$
- Do termo $\mu \Phi_1^\dagger \Phi_2 \Phi_s$ se fixa o valor $h_1 = \frac{5u}{2} + \frac{7d}{2}$.

Bósons de Gauge físicos e correntes neutras

$$\mathcal{L}_{\text{gauge}} = -\frac{1}{4}\hat{B}_{\mu\nu}\hat{B}^{\mu\nu} + \frac{\epsilon}{2\cos\theta_W}\hat{X}_{\mu\nu}\hat{B}^{\mu\nu} - \frac{1}{4}\hat{X}_{\mu\nu}\hat{X}^{\mu\nu},$$

$$D_\mu = \partial_\mu + igT^a W_\mu^a + ig'\frac{Q_Y}{2}\hat{B}_\mu + ig_X\frac{Q_X}{2}\hat{X}_\mu.$$



$$\epsilon \ll 1$$

\hat{B}_μ, \hat{X}_μ Bósons não físicos

$$\begin{pmatrix} X_\mu \\ B_\mu \end{pmatrix} = \begin{pmatrix} \sqrt{1 - (\epsilon/\cos\theta_W)^2} & 0 \\ -\epsilon/\cos\theta_W & 1 \end{pmatrix} \begin{pmatrix} \hat{X}_\mu \\ \hat{B}_\mu \end{pmatrix} \cdot \text{Rotação G(2,L)}$$

$$D_\mu = \partial_\mu + igT^a W_\mu^a + ig' \frac{Q_Y}{2} B_\mu + \frac{i}{2} \left(g_X Q_X + g' \frac{\epsilon}{\cos\theta_W} Q_Y \right) X_\mu.$$

Após a QES:

$$m_{Z^0 X}^2 = \frac{1}{2} \begin{pmatrix} m_{Z^0}^2 & -\Delta^2 \\ -\Delta^2 & m_X^2 \end{pmatrix},$$

A diagonalização desta matriz é feita pela transformação:

$$\begin{pmatrix} Z_\mu \\ Z'_\mu \end{pmatrix} = \begin{pmatrix} \cos \xi & -\sin \xi \\ \sin \xi & \cos \xi \end{pmatrix} \begin{pmatrix} Z_\mu^0 \\ X_\mu \end{pmatrix},$$

No limite $\tan \xi \ll 1$ e $M_{Z'} \ll M_Z$

$$m_Z^2 \simeq m_{Z^0}^2 = \frac{1}{4} g_Z^2 v^2,$$

$$m_{Z'}^2 = \frac{v_s^2}{4} g_X^2 q_X^2 + \frac{g_X^2 v^2 \cos^2 \beta \sin^2 \beta}{4} (Q_{X1} - Q_{X2})^2.$$

$$\xi = \epsilon_Z + \epsilon \tan \theta_W \quad \epsilon_Z \equiv \frac{g_X}{g_Z} (Q_{X1} \cos^2 \beta + Q_{X2} \sin^2 \beta).$$



Para um $M_{Z'} \ll M_Z$, g_X deve ser muito suprimido

v_s é a escala de quebra de simetria $U(1)_X \sim 1\text{TeV}$

Finalmente, a corrente neutra pode ser dividida em duas contribuições



Para quando as cargas dos férmions por $U(1)_X = 0$

$$\mathcal{L}_{nc} = -eJ_{em}^\mu A_\mu - \frac{g_Z}{2} J_{NC}^\mu Z_\mu - \left(\epsilon e J_{em}^\mu + \frac{\epsilon_Z g_Z}{2} J_{NC}^\mu \right) Z'_\mu$$

Dark Photon

Dark Z



Para quando as cargas dos férmions por $U(1)_X \neq 0$

$$\mathcal{L}_{nc} = -\frac{1}{4}g_X \cos \xi \left[\left(Q_{Xf}^R + Q_{Xf}^L \right) \bar{\psi}_f \gamma^\mu \psi_f - \left(Q_{Xf}^L - Q_{Xf}^R \right) \bar{\psi}_f \gamma^\mu \gamma_5 \psi_f \right] Z'_\mu.$$



Modelos com $M_{Z'} \sim 1\text{MeV} - 10\text{GeV}$

estão fortemente vinculados por :

- atomic parity violation,
- the muon anomalous magnetic moment,
- rare meson decays, Higgs physics,
- LEP precision data,
- neutrino-electron scattering,
- low energy accelerators and LHC probes. [Neutrino Masses and Absence of Flavor Changing Interactions in the 2HDM from Gauge Principles](#)

Atomic Parity Violation

Observada em transições atômicas $6s \longrightarrow 7s$ no Césio.

Sensível à existência de bósons Z' com *parity violating interactions* entre elétrons e núcleos.

$$\begin{aligned}
 -\mathcal{L}_{\text{eff}} = & \frac{g^2 + g'^2}{m_Z^2} \frac{1}{4} \bar{e} \gamma_\mu \gamma_5 e \left[\left(\frac{1}{4} - \frac{2}{3} s_W^2 \right) \bar{u} \gamma^\mu u + \right. \\
 & \left. \left(-\frac{1}{4} + \frac{1}{3} s^2 \right) \bar{d} \gamma^\mu d \right] \\
 & - \frac{f_{Ae}}{m_{Z'}^2} \bar{e} \gamma_\mu \gamma_5 e \left[f_{Vu} \bar{u} \gamma^\mu u + f_{Vd} \bar{d} \gamma^\mu d \right].
 \end{aligned}$$

- Electron axial-vector, quark vector
- LR quiral states couples differently to Z boson

Contribuição do Z'

$$Q_Z = (2Z + N) \left(\frac{1}{4} - \frac{2}{3} \sin^2 \theta_W \right) + (Z + 2N) \left(-\frac{1}{4} + \frac{1}{3} \sin^2 \theta_W \right),$$

$$= \frac{1}{4} [Z(1 - 4 \sin^2 \theta_W) - N] = \frac{1}{4} Q_W^{\text{SM}}(Z, N).$$

Similarmente podemos definir $Q_{Z'}$, como a carga fraca do Césio devido ao Z'

$$Q_{Z'} = (2Z + N)f_{V_u} + (Z + 2N)f_{V_d}$$

$$= (2f_{V_u} + f_{V_d})Z + (f_{V_u} + 2f_{V_d})N.$$

$$Q_W^{\text{eff}} = Q_W^{\text{SM}} - 4\delta^2 Q_{Z'} \frac{m_{z'}^2}{m_{z'}^2 + Q^2}$$

Sendo $\epsilon_Z = \frac{M_{Z'}}{M_Z} \delta$

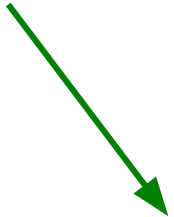
O Z' deve dar conta da discrepância entre o experimento e a teoria deve

$$\Delta Q_W = \left(-\delta^2 Q_W^{\text{SM}} - \delta^2 4Z \sin \theta_W \cos \theta_W \frac{\epsilon}{\epsilon_Z} \right) \frac{m_{z'}^2}{m_{z'}^2 + Q^2}.$$

PVES e PVDIS


PVES sensível à carga fraca do próton

Espalhamento de elétrons polarizados com um alvo de prótons


$$A_{PV} = \frac{\sigma_R - \sigma_L}{\sigma_R + \sigma_L}$$

Qweak Collaboration [Precision Measurement of the Weak Charge of the Proton](#)

PVDIS  elétrons polarizados incidindo em deutério.

 Sensível a acoplamentos electron vector,
quark axial-vector

$$2C_{2u} - C_{2d} = -0.148 \pm 0.068$$

[Measurement of parity violation in electron-quark scattering](#)